

# ارائه روشی برای تعیین نیروی واردہ بر ساختمان‌های با سیستم جداسازی لرزه‌بی در ایران بر مبنای آیین‌نامه‌های ژاپن

سید حسن حسینی (مردمی)

دانشکده‌ی فنی و هندسی، مؤسسه‌ی آموزش عالی رجا، دانشگاه کردستان

و تضییی بسطامی\* (دانشیار)

پژوهشگاه بین‌المللی زلزله‌شناسی و هندسی زلزله

هدف از این پژوهش، ارائه‌ی یک روش پیشنهادی برای تعیین نیروی واردہ بر ساختمان‌های با سیستم جداسازی لرزه‌بی و طراحی آن‌ها در ایران است. بدین منظور آیین‌نامه‌ی طراحی ساختمان‌های با جداسازی لرزه‌بی ژاپن به عنوان مبنای روش پیشنهادی در نظر گرفته شده است. برای درنظرگرفتن شرایط ساختگاهی و ضوابط آیین‌نامه‌ی طراحی لرزه‌بی ایران، پارامترهای: نوع خاک، تقسیم‌بندی مناطق لرزه‌بی، ضریب بازتاب ساختمان، طیف طراحی، زمان تناوب ساختمان‌ها و ضریب توزیع نیروی جانبی در ارتفاع در دو آیین‌نامه با یکدیگر مقایسه و نتایج این بررسی و تطبیق پارامترها در روش پیشنهادی لحاظ شده است. به منظور ارزیابی روش پیشنهادی، چند مدل سازه‌بی در نظر گرفته شده و نتایج حاصل از روش پیشنهادی با نتایج تحلیل‌های تاریخچه‌ی زمانی غیرخطی مقایسه شده است. نتایج تحلیل‌های بیان‌گر تخمین مناسب و قابل اطمینان مقادیر پاسخ حاصل از روش پیشنهادی بوده است. به علاوه با توجه به نتایج درنظرگرفتن ضرایبی برای لحاظ‌کردن اثرات حوزه‌ی نزدیک در آیین‌نامه‌ی ایران ضروری به نظر می‌رسد.

**واژگان کلیدی:** ساختمان‌های با جداسازی لرزه‌بی، آیین‌نامه‌ی ۲۸۰۰، آیین‌نامه‌ی ژاپن، تحلیل تاریخچه‌ی زمانی، رکورد حوزه‌ی دور و نزدیک.

## ۱. مقدمه

طراحی ساختمان‌های با جداسازی لرزه‌بی در کشور که با لحاظ‌کردن شرایط لرزه‌بی ایران و ضوابط عناوون شده آیین‌نامه‌ی آیین‌نامه‌ی ۲۸۵۰<sup>[۱]</sup>، تهیه شده باشد، هدف اصلی این نوشتار است.

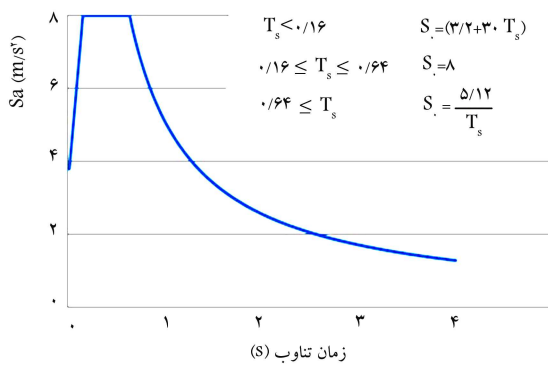
البته دستورالعمل طراحی ساختمان‌های با جداسازی لرزه‌بی<sup>[۲]</sup> در سال ۱۳۸۹ توسط مرکز تحقیقات ساختمان و مسکن و همچنین راهنمای طراحی و اجرای سیستم‌های جداسازی لرزه‌بی در ساختمان است و تعداد ساختمان‌های ساخته شده با جداسازی لرزه‌بی در ژاپن پس از زلزله‌ی کوبه (۱۹۹۵) افزایش چشمگیری داشته است.<sup>[۳]</sup>

با توجه به اینکه آیین‌نامه‌ی استاندارد ژاپن و کلیه‌ی ابلاغات و الزامات وابسته به آن به نظر ایجاد یک سیستم مشخص برای سیستم‌های کنترل ساختمانی پس از سال ۲۰۰۰ به طور کلی مورد بازبینی و تجدیدنظر قرار گرفته است.<sup>[۴]</sup> و در حال حاضر یکی از معترضین آیین‌نامه‌های طراحی سازه‌های با جداسازی لرزه‌بی در دنیاست، لذا آیین‌نامه‌ی مذکور جهت تدوین روش پیشنهادی برای طراحی سازه‌های با جداسازی لرزه‌بی مبنای کار قرار گرفته است. ارائه‌ی یک روش مناسب به منظور تاریخچه‌ی زمانی غیرخطی، دقت و ضریب اطمینان این روش بررسی شود.

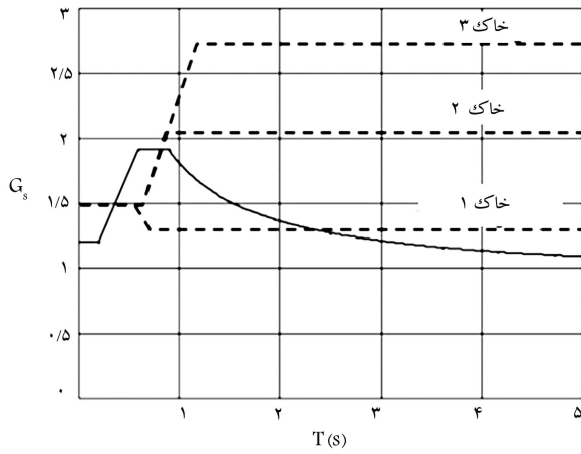
در بخش اول این نوشتار روش‌های طراحی سازه‌های با جداسازی لرزه‌بی

\* نویسنده مسئول

تاریخ: دریافت ۲۵/۱۳۹۲، /صلاحیه ۱۱/۱۳۹۲، پذیرش ۲۲/۱۱/۱۳۹۲.



شکل ۱. نمودار طیف شتاب استاندارد  $S$  در سطح سنگ بستر.<sup>[۶]</sup>



شکل ۲. ضریب تشدید در لایه‌ی خاک زیر سازه.<sup>[۷]</sup>

که در آن،  $Z$  بیان‌گر نوع منطقی لرزه‌یی به صورت ضریبی برابر با  $0.9, 0.8, 0.7$  و  $0.6$  برای شهرهای مختلف زمین<sup>[۱۰]</sup> و  $G_s$  ضریب تشدید خاک است و به یکی از این دو صورت محاسبه می‌شود:<sup>[۱۱]</sup>

۱. روش ساده، که براساس ویژگی‌های خاک روی بستر سنگی براساس طبقه‌بندی خاک از نوع ۱ تا ۳ است.

۲. روش دقیق، که براساس محاسبات با استفاده از روند انتشار امواج با درنظرگرفتن رفتار غیرخطی خاک انجام می‌شود.

به طور مثال در شکل ۲ ضریب  $G_s$  بر حسب زمان تناوب طبیعی سازه یک بار با روش دقیق برای خاک نوع ۲ محاسبه و با خط معمولی نشان داده شده و یک بار براساس روش ساده شده برای خاک‌های از نوع ۱ تا نوع ۳ با نقطه‌چین ترسیم شده است.

## ۲.۲. مدل سازه‌یی

در قسمت جدادسازی لرزه‌یی رابطه‌ی نیروی برشی - جابه‌جایی به صورت دوخطی فرض می‌شود که این رابطه همان‌طور که در شکل ۳ نشان داده شده است، براساس مشخصات جداگر و میراگر به کاررفته در قسمت جدادسازی است.

مهندس طراح بیشینه‌یی جابه‌جایی طراحی ( $\delta_s$ ) را براساس مشخصات تجهیزات، که در ابلاغیه‌ی شماره‌ی  $1446$ <sup>[۱۲]</sup> ذکر شده است، مشخص می‌کند. بدین صورت که ابتدا جابه‌جایی استاندارد افقی هر یک از تجهیزات جدادساز لرزه‌یی ( $\delta_u$ ) را تعیین و سپس با ضرب ضریب باربری هر جداگر لرزه‌یی ( $\beta$ )، که براساس شرایط و

عنوان شده در آین نامه‌ی زمین ارائه و روند طراحی این ساختمان‌ها براساس روش تحلیل خطی معادل آین نامه‌ی زمین بررسی شده است. در بخش دوم، به منظور در نظرگرفتن شرایط ساختگاهی و لرزه‌خیزی و همچنین ضوابط آین نامه‌ی طراحی لرزه‌یی ایران، پارامترهای نوع زمین و خاک، تقسیم‌بندی مناطق لرزه‌یی، ضریب بازتاب ساختمان، طیف طراحی، زمان تناوب ساختمان‌ها و ضریب توزیع نیروی جانبی در ارتفاع در دو آین نامه با یکدیگر مقایسه و نتایج این بررسی و تطبیق پارامترها به صورت رابطه‌ی پیشنهادی ارائه شده است. همچنین در این بخش مقایسه‌یی بین روش پیشنهادی با روش ارائه شده در دستورالعمل طراحی ساختمان‌های با جدادساز لرزه‌یی انجام شده است. در بخش سوم، به منظور ارزیابی رابطه‌ی پیشنهادی، چند مدل سازه‌یی در نظرگرفته شده و نتایج حاصل از روش پیشنهادی با نتایج تحلیل‌های تاریخچه‌ی زمانی غیرخطی مقایسه شده است. برای انجام تحلیل‌های تاریخچه‌ی زمانی از رکوردهای حوزه‌ی دور و نزدیک ایران استفاده شده است.

نتایج تحلیل‌ها نشان‌دهنده‌ی اختلاف بین مقادیر پاسخ تحت زلزله‌های حوزه‌ی دور و نزدیک بوده است، که این اختلاف در پاسخ جابه‌جایی تراز جدادسازی نسبت به برش پایه به طور محسوسی بزرگ‌تر بوده است. همچنین در همه‌ی حالات، مقادیر پاسخ نشان‌دهنده‌ی تخمین مناسب و قابل اطمینان مقادیر پاسخ حاصله از روش پیشنهادی بوده است. به علاوه با توجه به نتایج حاصله، در نظرگرفتن ضرایبی به منظور لحاظ‌کردن اثرات حوزه‌ی نزدیک در آین نامه‌ی ایران ضروری به نظر می‌رسد.

## ۲. طراحی ساختمان‌های با جدادسازی لرزه‌یی در

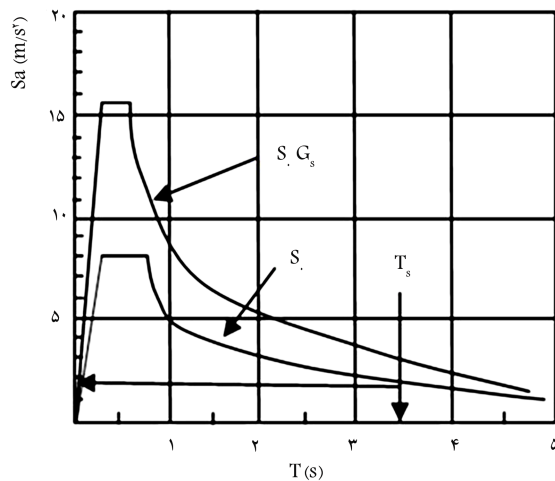
### آین نامه‌ی زمین

وزارت مسکن زمین در ۱۷ اکتبر سال ۲۰۰۰، ابلاغیه‌ی شماره‌ی  $2009$  را منتشر کرد.<sup>[۱۳]</sup> هدف از این ابلاغیه، تعریف ضوابط استانداردی برای مشخصات ساختمانی و روش‌های محاسبات سازه‌یی برای ساختمان‌های با جدادسازی لرزه‌یی بوده است. ابلاغیه‌ی شماره‌ی  $2009$ ، اینمی ساختمان‌های با جدادسازی لرزه‌یی را با محاسباتی براساس روش مقاومت نهایی تأمین می‌کند. آخرین ویرایش آین نامه‌ی زمین مربوط به سال  $2009$  است، که مبنای این مطالعه قرار گرفته است. محاسبات سازه‌یی در ساختمان‌های با جدادسازی لرزه‌یی به دو صورت تحلیل خطی معادل و تحلیل تاریخچه‌ی زمانی غیرخطی صورت می‌گیرد.<sup>[۱۴]</sup> در این قسمت روند طراحی عنوان شده در ابلاغیه‌ی شماره‌ی  $2009$  و ضوابط مربوط به آن بیان می‌شود. روند طراحی در این ابلاغیه را می‌توان به ۴ بخش تقسیم کرد که به شرح زیر می‌باشد:<sup>[۱۵]</sup>

### ۱.۱. زلزله‌های ورودی و طیف طرح

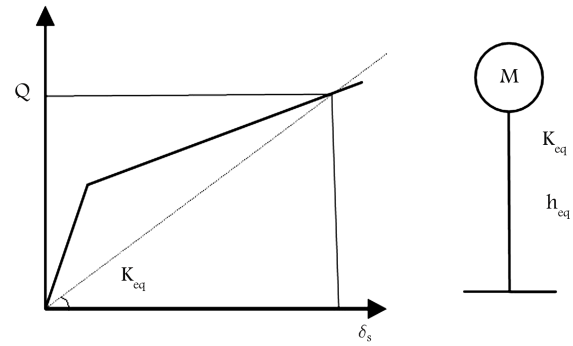
آین نامه‌ی زمین دو سطح نیروی لرزه‌یی را معرفی می‌کند. سطح اول نیروی لرزه‌یی با احتمال فرآگذشت  $10\%$  در  $50$  سال با دوره‌ی بازگشت  $475$  سال و نیروی لرزه‌یی سطح بعدی با احتمال فرآگذشت  $50\%$  در  $30$  سال با دوره‌ی بازگشت  $43$  سال است، که به ترتیب زلزله‌های سطح ۱ و ۲ نامیده می‌شوند.<sup>[۱۶]</sup> طیف پاسخ شتاب استاندارد ( $S_a$ )، که به ازاء میرایی  $5\%$  در سنگ بستر در ابلاغیه‌ی شماره‌ی  $1446$  وزارت حمل و نقل، اراضی و زیرساخت‌ها،<sup>[۱۷]</sup> عنوان شده و در شکل ۱ نشان داده شده است، مطابق با زلزله‌های سطح ۲ با دوره‌ی بازگشت  $475$  سال است.<sup>[۱۸]</sup> طیف شتاب زلزله‌ی ورودی از رابطه‌ی ۱ به دست می‌آید:

$$S'_a = ZG_s S. \quad (1)$$

شکل ۴. طیف شتاب زلزله‌های ورودی.<sup>[۱]</sup>

(بر حسب تن)  $C_{vi}$  و ضریب میرایی میراگر هیدرولیکی است. برای مثال منحنی  $S'_a$  برای خاک نوع ۲ که ضریب تشید آن در شکل ۲ نشان داده شده است، منطقه‌یی با خط لرزه‌یی  $Z = 1$  است (شکل ۴). در شکل ۴ محور افقی دوره‌ی تناوب طبیعی محاسبه شده بر مبنای رابطه‌ی ۲ است. با تعیین پارامترهای فوق نیروی ناشی از زلزله، که به لایه‌ی جداساز لرزه‌یی و سازه‌یی فوکانی وارد می‌شود، از رابطه‌ی ۷ محاسبه می‌شود. پارامتر  $Z$  در این رابطه بیانگر ضریب منطقه‌ی لرزه‌یی است و مقداری بین ۰/۷ تا ۱ دارد:

$$Q = S_a \cdot M = F_h \cdot Z \cdot G_s \cdot S_ \cdot M \quad (۷)$$

شکل ۳. مدل سازه‌یی با جداسازی لرزه‌یی (به صورت سیستم یک درجه آزادی).<sup>[۱۲]</sup>

نوع تجهیزات تعیین می‌شود، جابه‌جایی نهایی طرح هر یک از دستگاه‌های جداساز لرزه‌یی ( $m\delta_d$ )<sup>۱</sup> را تعیین و کمترین جابه‌جایی را به عنوان بیشینه‌ی جابه‌جایی طراحی ( $\delta_s$ ) اختیار می‌کند. سپس ساختمان با جداسازی لرزه‌یی را به صورت یک سیستم یک درجه آزادی به جرم مرکزی  $M$  (جرم ساختمان) و سختی معادل  $K_{eq}$  در جابه‌جایی  $\delta_s$  در نظر می‌گیرد (شکل ۳).<sup>[۱۲]</sup> همچنین دوره‌ی تناوب معادل طراحی به صورت رابطه‌ی ۲ تعریف می‌شود:

$$T_s = 2\pi \sqrt{\frac{M}{K_{eq}}} \quad (۲)$$

### ۳.۲ طیف پاسخ شتاب نیاز

طیف پاسخ شتاب نیاز به صورت رابطه‌ی ۳ تعریف می‌شود:<sup>[۱۳]</sup>

$$S_a = F_h S'_a \quad (۳)$$

#### ۲. بازیینی (یا تطبیق) مقادیر پاسخ

برای لحاظکردن ضریب کاهندگی شتاب ناشی از میرایی ( $F_h$ ) باید مقادیر  $S'_a$  نشان داده شده در شکل ۴ را در  $F_h$  ضرب کرد تا شتاب پاسخ ( $S_a$ ) بدست آید. سپس پاسخ جابه‌جایی مرکز جرم سازه (۸) از فرمول ۸ محاسبه می‌شود:

$$\delta = \frac{Q}{K_{eq}} = \frac{M \cdot S_a}{K_{eq}} \quad (۸)$$

با لحاظکردن اثر جداسازه‌یی لرزه‌یی، پاسخ جابه‌جایی سطح جداساز ( $\delta_r$ ) به صورت روابط ۹ و ۱۰ محاسبه می‌شود:

$$\delta_r = 1, 1 \delta'_r < (\delta_s) \quad (۹)$$

$$\delta'_r = \alpha \cdot \delta \quad (۱۰)$$

در رابطه‌ی ۹، ضریب ۱/۱ برای درنظرگرفتن اثر لایه‌یی جداساز لرزه‌یی که باعث ایجاد خروج از مرکزیت بین مرکز جرم و مرکز سختی می‌شود، لحاظ شده است. در رابطه‌ی ۱۰،  $\alpha$  ضریب اطمینان دماست، که به تعییرات سختی و مشخصات اولیه‌ی تجهیزات کارخانه بستگی دارد و کمینه‌ی مقدار آن ۱/۲ است. البته میزان تنش در تجهیزات جداساز و سازه‌یی فوکانی باشد کمتر از مقاومت تجهیزات و تنش مجاز آنها باشد. همچنین میزان بیشینه‌ی جابه‌جایی نسبی هر طبقه‌ی سازه‌یی فوکانی (حاصل تقسیم جابه‌جایی نسبی ایجاد شده ناشی از نیروی لرزه‌یی در طبقه به ارتفاع طبقه) باید در حدود ۰/۰ باشد.<sup>[۶]</sup>

که در آن،  $F_h$  ضریب کاهندگی شتاب پاسخ است، که ناشی از میرایی در جداساز لرزه‌یی است. این ضریب برای تراز جداسازی با استفاده از ضریب میرایی چسبندگی برای تجهیزات جداسازی هیدرولیکی ( $h_v$ ) و تجهیزات جداسازی هیسترزیس ( $h_d$ ) به ازاء جابه‌جایی  $\delta_s$  مطابق رابطه‌ی ۴ محاسبه می‌شود:

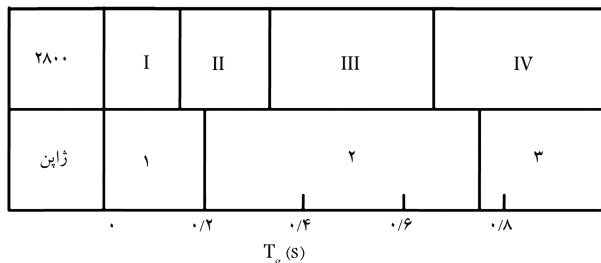
$$F_h = \frac{1/5}{1 + 10 * (h_v + h_d)} \quad (۴)$$

ضریب میرایی ویسکوز برای تجهیزات جداسازی هیدرولیکی ( $h_v$ ) و تجهیزات جداسازی هیسترزیس ( $h_d$ ) از روابط ۵ و ۶ محاسبه می‌شوند:

$$h_d = \frac{1/8}{\pi} \cdot \frac{\sum \Delta W_i}{\sum W_i} \quad (۵)$$

$$h_v = \frac{1}{4\pi} \cdot \frac{T_s \sum C_{vi}}{M} \quad (۶)$$

که در رابطه‌ی ۵،  $\Delta W_i$  مساحت محصور به منحنی هیسترزیس برای تجهیزات جداگر لرزه‌یی هیسترزیس در جایی است که میزان جابه‌جایی نهایی طرح هر یک از تجهیزات جداساز لرزه‌یی هیسترزیس، بیشینه‌ی مقدار خود را دارد (بر حسب  $W_i$  KN.m) و یک دوم جابه‌جایی ایجاد شده در هر جداساز لرزه‌یی هیسترزیس در هنگامی است که جابه‌جایی نهایی طرح لایه‌یی جداساز لرزه‌یی رخ می‌دهد، ضرب در مقاومت هر جداساز در این زمان (بر حسب KN.m) هستند. در رابطه‌ی ۶،  $T_s$  دوره‌ی تناوب طبیعی نهایی طرح (بر حسب ثانیه)،  $M$  جرم سازه‌یی فوکانی (مقدار به دست آمده از مجموع بارهای مرده و زنده سازه‌یی فوکانی تقسیم بر شتاب گرانش



شکل ۵. مقایسه‌ی طبقه‌بندی نوع زمین در استاندارد ۲۸۰۰ و آین نامه‌ی ژاپن براساس  $T_g$ .

جدول ۱. مقایسه‌ی طبقه‌بندی نوع زمین در استاندارد ۲۸۰۰ و آین نامه‌ی ژاپن.

آین نامه‌ی ژاپن	نوع زمین در ۲۸۰۰	نوع زمین در آین نامه‌ی ژاپن
۱	I	
۲	II	
۲	III	
۳	IV	

جدول ۲. مقایسه‌ی تقسیم‌بندی مناطق لرزه‌بی در آین نامه‌ی ۲۸۰۰ و آین نامه‌ی ژاپن.

آین نامه‌ی ژاپن	مناطق لرزه‌بی در ۲۸۰۰	مناطق لرزه‌بی در
Z = ۱/۰	پهنه با لرزه‌خیزی خیلی زیاد	
Z = ۰/۹	پهنه با لرزه‌خیزی زیاد	
Z = ۰/۸	پهنه با لرزه‌خیزی متوسط	
Z = ۰/۷	پهنه با لرزه‌خیزی کم	

### ۳. مقایسه‌ی ضوابط آین نامه‌ی ایران و ژاپن و ارائه‌ی

#### روش پیشنهادی

در این بخش مطالعات تحلیلی و بررسی‌های انجام شده برای مقایسه و انطباق برخی از ضوابط و پارامترهای عنوان شده در ابلاغیه ساختمان‌های با جداسازی لرزه‌بی ژاپن (ابlagیه شماره ۹ ۲۰۰۹) و آین نامه‌ی طراحی ساختمان‌ها در برابر زلزله (استاندارد ۲۸۰۰) با توجه به شرایط ساختگاهی و لرزه‌خیزی ایران و همچنین رعایت ضوابط آین نامه‌ی ایران عنوان شده است.

برخی از مواردی که بین ابلاغیه ساختمان‌های با جداسازی لرزه‌بی ژاپن و آین نامه‌ی طراحی ساختمان‌ها در برابر زلزله بررسی و حاصل انطباق در روش پیشنهادی لحاظ شده‌اند، عبارت اند از: نوع زمین و خاک، تقسیم‌بندی مناطق لرزه‌بی، ضریب بازتاب ساختمان، مقایسه‌ی طیف‌ها و زمان تناوب ساختمان. علاوه بر شرایط ساختگاهی و لرزه‌خیزی عنوان شده در آین نامه‌های فوق، مواردی نظری ضریب توزیع نیروی جانی در ارتفاع ساختمان برای سازه‌های با جداسازی لرزه‌بی در این بخش مورد بحث و بررسی قرار گرفته است.

#### ۱.۱. طبقه‌بندی نوع زمین و خاک

در استاندارد ۲۸۰۰، خاک به ۴ گروه طبقه‌بندی شده و علاوه بر تعریف مواد مشکل ساختگاه، پارامتر سرعت موج برشی نیز در این طبقه‌بندی مذکور گرفته است.<sup>[۲]</sup>

در آین نامه‌ی ژاپن، خاک در ۳ دسته‌ی نوع ۱ (سخت)، نوع ۲ (متوسط) و نوع ۳ (نرم) تقسیم‌بندی می‌شود، که این طبقه‌بندی بر مبنای زمان تناوب اصلی خاک بستر  $T_g$  یا مواد مشکل ساختگاه است.<sup>[۳]</sup>

زمان تناوب اصلی خاک بستر در آین نامه‌ی ژاپن از رابطه‌ی ۱۱ محاسبه می‌شود:<sup>[۱۴]</sup>

$$T_g = \sqrt{2L \sum_{i=1}^L \frac{h_i(\frac{H_{i-1}+H_i}{2})}{v_i^2}} \quad (11)$$

که در آن،  $L$  تعداد لایه‌های خاک بین سنگ بستر و فونداسیون سازه،  $h_i$  ضخامت هر لایه‌ی خاک (بر حسب متر)،  $H_i$  عمق هر لایه‌ی خاک (بر حسب متر)،  $v_i$  سرعت موج برشی در هر لایه‌ی خاک (بر حسب متر بر ثانیه) است. برای برقراری رابطه بین طبقه‌بندی خاک در دو آین نامه مورد مطالعه، علاوه بر ملاک قراردادن مواد مشکل ساختگاه، با توجه به اینکه در هر آین نامه از پارامترهای متفاوتی برای دسته‌ی نوع خاک استفاده می‌شود (آین نامه ۲۸۰۰ بر مبنای ۲۸۰۰)، ضخامت سرعت موج برشی و آین نامه ژاپن براساس  $T_g$ ، این مقایسه برای خاک با یک لایه و با ضخامت ۳۰ متر روی سنگ بستر صورت گرفته است. با این فرض، متوجه سرعت موج برشی در ۳۰ متر بالایی بیان شده در آین نامه ۲۸۰۰ و سرعت موج برشی در رابطه‌ی ۱۱ یکسان در نظر گرفته شده است. بنابراین با جایگزین کردن سرعت‌های بیان شده در آین نامه ۲۸۰۰ در رابطه‌ی ۱۱، مقایسه‌ی بندی نوع خاک در آین نامه ۲۸۰۰ بر حسب زمان تناوب اصلی خاک  $T_g$  مطابق شکل ۵ مجدداً انجام شده است. با توجه به مواد مشکلهای هر نوع خاک و شکل ۵، مقایسه‌ی تطبیقی نوع خاک در دو آین نامه مطابق جدول ۱ انجام شده است.

#### ۳.۲. طیف پاسخ شتاب

در آین نامه‌ی ژاپن، طیف پاسخ شتاب مطابق رابطه‌ی ۱ بر مبنای طیف پاسخ شتاب در سنگ بستر مهندسی ( $S_o$ ) محاسبه می‌شود. طیف پاسخ شتاب استاندارد ( $S_o$ ) که به ازاء میرایی ۵٪ در سنگ بستر مهندسی عنوان می‌شود، مطابق با زلزله‌های با

مطابق شکل ۵ مجدداً انجام شده است. با توجه به مواد مشکلهای هر نوع خاک و شکل ۵، مقایسه‌ی تطبیقی نوع خاک در دو آین نامه مطابق جدول ۱ انجام شده است.

طبقه‌بندی نوع زمین مطابق جدول ۱ و تقسیم‌بندی مناطق لرزه‌بی مطابق جدول ۲ در نظر گرفته شده است.

**۴.۳. ۴. ضریب توزیع نیروی جانبی زلزله در ارتفاع ساختمان**  
در آین نامه‌ی ۲۸۰۰، نیروی برش پایه در ساختمان با یک توزیع مثلثی وارونه مطابق رابطه‌ی ۱۳ در ارتفاع ساختمان توزیع می‌شود:

$$F_i = (V - F_t) * \frac{W_i h_i}{\sum_{j=1}^n W_j h_j} \quad (13)$$

که در آن،  $F_i$  نیروی جانبی در تراز طبقه‌ی  $i$ ،  $W_i$  وزن طبقه‌ی  $i$ ،  $h_i$  ارتفاع تراز  $i$  (با ارتفاع سقف طبقه‌ی  $n$  از تراز پایه)،  $n$  تعداد طبقات ساختمان از تراز پایه به بالا و  $F_t$  نیروی جانبی اضافی در تراز سقف طبقه‌ی  $n$  است. در آین نامه‌ی ۲۸۰۰، مقادیر برش در هر طبقه برابر با مجموع  $F_i$  در آن طبقه و طبقات بالاتر است. در آین نامه‌ی ژاپن، میزان برش در هر طبقه مستقیماً از رابطه‌ی ۱۴ به دست می‌آید که در آن،  $A_i$  ضریب توزیع برش در طبقه‌ی  $i$  نام مطابق رابطه‌ی ۱۵ و  $C$  ضریب برش پایه است، که برش در هر طبقه از ضرب این دو پارامتر در مجموع وزن آن طبقه و طبقات بالاتر حاصل می‌شود. ضریب برش پایه از حاصل ضرب ضریب تشید خاک در ضریب منطقه‌ی لرزه‌بی و در طیف پاسخ شتاب استاندارد در سنگ بستر و در ضریب سطح زلزله، که برای زلزله‌ی سطح ۲ برابر با ۱ است، محاسبه می‌شود.<sup>[۱۱]</sup>

$$V_i = C A_i \sum_{j=i}^N W_j \quad (14)$$

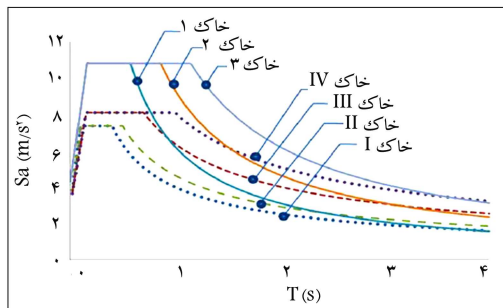
$$A_i = 1 + \left( \frac{1}{\sqrt{\alpha_i}} - \alpha_i \right) \frac{2T}{1 + 3T} \quad (15)$$

دوره‌ی بازگشت تقریباً ۵۰۰ سال بوده و در شکل ۱ نشان داده شده است. برای مقایسه‌ی صحیح بین دو آین نامه‌ی ایران و ژاپن مقادیر ضریب بازتاب  $B$  در استاندارد ۲۸۰۰ در شتاب مبنای طرح  $A$  ضرب شده و شتاب طیفی به دست آمده است. در استاندارد ۲۸۰۰ مقدار ضریب بازتاب ساختمان از رابطه‌ی ۱۲ تعیین می‌شود:

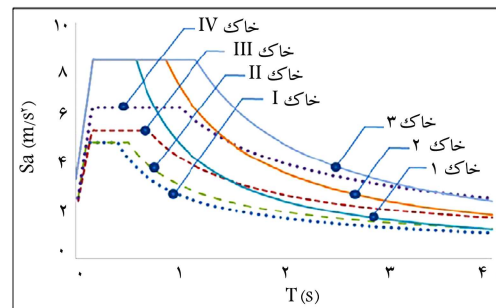
$$\begin{aligned} B &= 1 + S(T/T_s) & 0 \leq T \leq T_s \\ B &= 1 + S & T_s \leq T \leq T_s \\ B &= (1 + S)(T_s/T)^{1/3} & T_s \leq T \end{aligned} \quad (12)$$

که در آن،  $T_s$  عددی است بر حسب نوع زمین و می‌توان گفت همان زمان تنابوب زمین است.  $T$  زمان تنابوب اصلی نوسان ساختمان به ثانیه و  $T_s$  بیان‌گر مرز بین سازه‌ی بسیار سخت و محدوده‌ی شتاب ثابت از طیف شتاب است.  $S$  نیز برای درنظرگرفتن اثر تشیدیدکنندگی خاک نرم بر روی حرکت زمین در سنگ بستر است و با نرم ترشدن خاک، مقدار آن افزایش می‌یابد. ضریب بازتاب در آین نامه‌ی ۲۸۰۰ بیان‌کننده‌ی نحوه‌ی پاسخ ساختمان به حرکت زمین است، که اثرات نوع خاک را نیز در نظر می‌گیرد. همان‌طور که در بخش ۱.۲ بیان شده است اثرات نوع خاک در آین نامه‌ی ژاپن با پارامتر  $G$  نشان داده شده است.

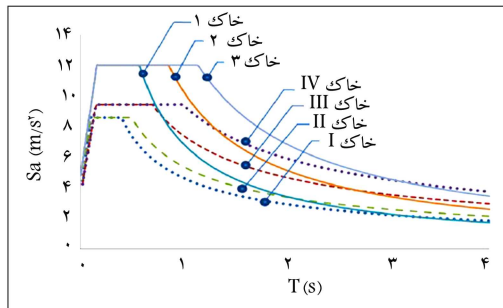
با توجه به مقایسه‌های انجام‌گرفته بین پارامترهای مشابه در دو آین نامه، پارامتر  $S_a'$  معادل با پارامتر  $B$  در آین نامه‌ی ۲۸۰۰ در نظر گرفته شده است. در شکل ۶، طیف‌های شتاب طراحی آین نامه‌ی ژاپن و ۲۸۰۰ بدون لحاظ کردن ضریب کاهنده‌ی شتاب پاسخ ناشی از میزانی در جداساز لرزه‌بی بر روی انواع خاک‌ها و در تمامی مناطق لرزه‌بی با یکدیگر مقایسه شده‌اند. برای انجام این مقایسه،



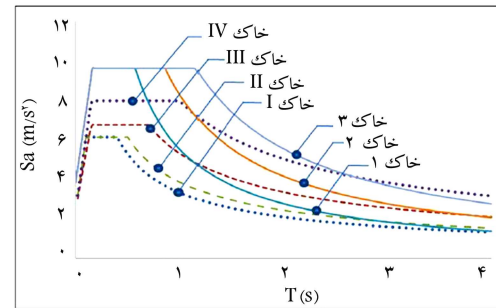
ج) خطر لرزه‌ی بی کم (ایران) و منطقه‌ی لرزه‌ی بی ۰/۹ (ژاپن);



الف) خطر لرزه‌ی بی کم (ایران) و منطقه‌ی لرزه‌ی بی ۰/۷ (ژاپن);

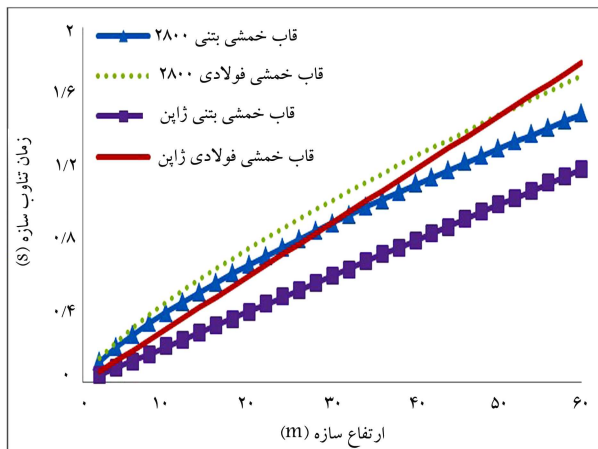


د) طیف شتاب برای خطر لرزه‌ی بی خیلی زیاد (ایران) و منطقه‌ی لرزه‌ی بی ۰/۱ (ژاپن).

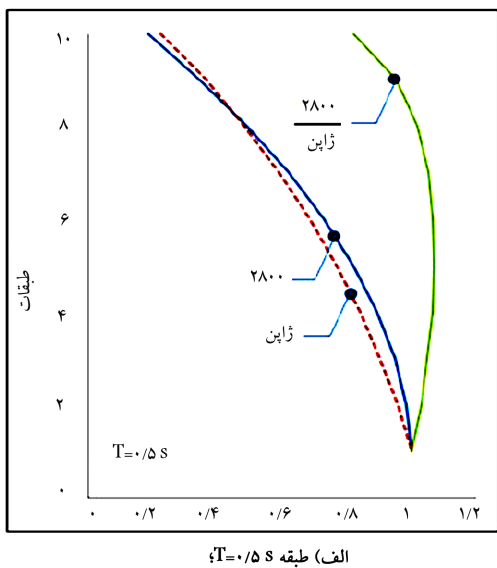


ب) خطر لرزه‌ی بی متوسط (ایران) و منطقه‌ی لرزه‌ی بی ۰/۸ (ژاپن);

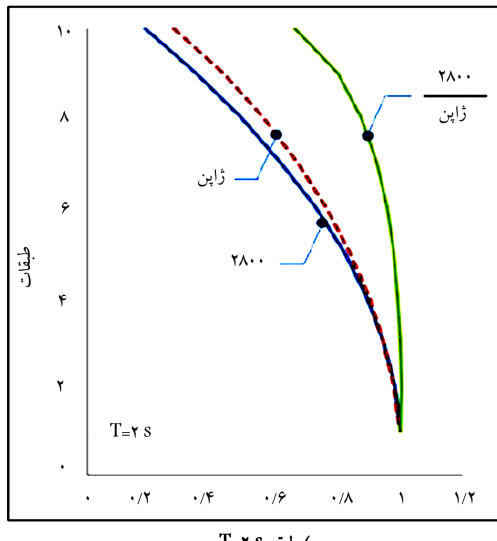
شکل ۶. مقایسه طیف شتاب برای سطوح خطر و مناطق لرزه‌بی مختلف در دو آین نامه ایران و ژاپن.



شکل ۷. زمان تناوب اصلی نوسان برای ساختمان‌های با پایه‌ی گیردار در آینه‌نامه‌ی ۲۸۰۰ و آینه‌نامه‌ی ژاپن.



الف) طبقه‌ی  $T=0.05s$



ب) طبقه‌ی  $T=0.2s$

شکل ۸. ضریب توزیع برش در ساختمان ۱۰ طبقه با توزیع یکنواخت جرم.

که در آن،  $\alpha_i$  مطابق رابطه‌ی ۱۶ نسبت مجموع وزن طبقه‌ی  $i$  و طبقات بالاتر از آن به وزن کل سازه و  $T$  مطابق رابطه‌ی ۱۷، زمان تناوب سازه با پایه‌ی گیردار هستند:

$$\alpha_i = \frac{\sum_{j=i}^n W_j}{W} \quad (16)$$

$$T = h * (0.02 + 0.01\alpha) \quad (17)$$

که در آن،  $h$  ارتفاع ساختمان (بر حسب متر) و  $\alpha$  نسبت ارتفاع سازه‌ی فولادی به ارتفاع کل ساختمان است. این پارامتر در سازه‌های فولادی برابر با ۱ و در ساختمان‌های با سازه‌ی غیرفلزی (نظیر بتنی یا چوبی) برابر با صفر است. چنانچه بخشی از ساختمان سیستم فولادی و بخشی دیگر در بالاترین یا پایین‌تر از آن بخش سیستمی غیراز فولاد داشته باشد، نسبت ارتفاع سازه‌ی فولادی به ارتفاع کل ساختمان به عنوان پارامتر  $\alpha$  در نظر گرفته می‌شود.

در شکل ۷ مقایسه‌ی بین زمان تناوب اصلی نوسان برای ساختمان‌های با قاب خمشی بتنی و فولادی با پایه‌ی گیردار در آینه‌نامه‌ی ۲۸۰۰ و آینه‌نامه‌ی ژاپن نشان داده شده است. به منظور مقایسه‌ی شکل توزیع نیروی برشی در ارتفاع ساختمان در دو آینه‌نامه‌ی ژاپن و ۲۸۰۰، یک ساختمان ۱۰ طبقه با توزیع جرم یکسان در طبقات در نظر گرفته شده و نیروی برشی ایجاد شده در طبقات بر مبنای ضوابط آینه‌نامه‌های ژاپن و ۲۸۰۰ و با استفاده از روابط عنوان شده در بالا محاسبه شده است.

مقایسه‌ی شکل توزیع برش در ارتفاع ساختمان برای دو زمان تناوب ۰.۵ و ۰.۰۵ ثانیه در شکل ۸ نشان داده شده است. در شکل‌های مذکور محور افقی نسبت به برش پایه‌ی سازه نرمال شده است. با دقت در شکل ۸ الف مقایسه می‌شود که توزیع برش در ارتفاع سازه برای زمان تناوب کمتر ( $0.05s$ ) در آینه‌نامه‌ی ژاپن پسیار نزدیک به آینه‌نامه‌ی ایران است و بیشترین اختلاف در حدود ۲۰٪ است، که در بالاترین طبقه رخ می‌دهد. این اختلاف برای زمان تناوب بالاتر ( $0.5s$ ) بیشتر و در حدود ۳۵٪ در بالاترین طبقه است. این تفاوت ناشی از آن است که ضریب  $A_i$ ، اثرات مودهای بالاتر را در نظر می‌گیرد و این مورد، یک امتیاز برای این روش محسوب می‌شود.

رونده طراحی ساختمان‌های با سیستم جداسازی لرزه‌بی در روش پیشنهادی برای ایران مطابق ۴ مرحله‌ی ۱-۲ تا ۴-۲ عنوان شده در نوشتار است. در این روش با مینا قراردادن رابطه‌ی ۷ و با توجه به مقایسه‌های انجام‌گرفته بین نوع زمین و خاک، تقسیم‌بندی مناطق لرزه‌بی، ضریب بازنای ساختمان، مقایسه‌ی طیف‌ها و زمان تناوب سازه‌ها و تطابق پارامترهای دو آینه‌نامه، رابطه‌ی نیروی لرزه‌بی ناشی از زلزله، که در لایه‌ی جداساز لرزه‌بی به وجود می‌آید، به صورت رابطه‌ی ۱۸ پیشنهاد شده است:

$$Q = A \cdot B \cdot W \cdot F_h \quad (18)$$

که در آن،  $Q$  نیروی لرزه‌بی ناشی از زلزله است که در لایه‌ی جداساز لرزه‌بی ایجاد می‌شود (بر حسب KN)،  $A$  نسبت شتاب مینای طرح در مناطق مختلف ایران براساس میزان خطر لرزه‌خیزی آنهاست که مقادیر آن در جدول ۲ بند ۳-۳-۲ آینه‌نامه‌ی ۲۸۰۰ عنوان شده است.  $B$  ضریب بازنای ساختمان است که بیان‌گر نووه‌ی پاسخ ساختمان به حرکت زمین است و مقدار آن وابسته به نوع زمین و خطر لرزه‌بی منطقه است. مقدار این ضریب بر مبنای بند ۳-۲-۴ آینه‌نامه‌ی ۲۸۰۰، براساس روابط و یا نمودارهای موجود تعیین شود،  $W$  وزن سازه‌ی فوکانی (بر حسب KN) و  $F_h$  نسبت کاهش شتاب عنوان شده مطابق رابطه‌ی ۴ است. تعیین ضریب  $B$  با

پیشنهادی، طراحی ساختمان ها با این روش تا ارتفاع ۶۰ متر مجاز است.<sup>[۶]</sup>

$$V_b = K_D \max D_D \quad (۲۳)$$

$$V_S = \frac{K_D \max D_D}{R_I} \quad (۲۴)$$

در دستورالعمل، توزیع نیروی جانبی در ارتفاع ساختمان به صورت خطی است، در حالی که توزیع نیرو در ارتفاع در روش پیشنهادی مطابق رابطه ۱۵ به صورت خطی نیست و اثر مدهای بالاتر را نیز در نظر می‌گیرد.

در دستورالعمل، پیشنهادی نسبت تغییرمکان نسبی طبقه به  $\frac{1}{R_I}$  محدود شده است، که ضریب  $R_I$  براساس نوع سیستم باربر جانبی سازه بالاتر از تراز جداسازی تعیین می‌شود، در حالی که در روش پیشنهادی این مقدار  $\frac{1}{R_I}$  است.

استفاده از دوره‌ی تناوب طبیعی نهایی طراحی سازه‌ی جداسازی شده ( $T_s$ ) مطابق رابطه ۲ صورت می‌گیرد. همچنین به منظور توزیع نیروی جانبی زلزله در ارتفاع ساختمان رابطه ۱۵ پیشنهاد شده است.

### ۵.۳ مقایسه‌ی روش پیشنهادی با روش ارائه شده در دستورالعمل طراحی ساختمان‌های با جداساز لرزه‌بی

با بررسی گام‌های روند عنوان شده در روش پیشنهادی با روش ارائه شده در «دستورالعمل طراحی ساختمان‌های با جداساز لرزه‌بی» که در این بخش با واژه‌ی «دستورالعمل» به آن اشاره شده است، می‌توان به مقایسه‌ی این دو روش پرداخت، که به برخی از آنها اشاره می‌شود.

در هر دو روش، انجام آزمایش‌های اولیه بر روی جداسازها به منظور تعیین پارامترهای طراحی اهمیت بسیار زیادی دارد. در روش پیشنهادی فقط یک زمان تناوب برای سازه‌ی جداسازی شده مطابق رابطه ۲ در نظر گرفته می‌شود، که این زمان تناوب به ازاء پیشنهادی جابه‌جاگی طرح، که براساس مشخصات تجهیزات جداسازی تعیین می‌شود، محاسبه می‌شود. اما در روش دستورالعمل، دو زمان تناوب مؤثّر یکی متناظر با تغییرمکان طح ( $T_D$ ) و دیگری متناظر با بیشترین تغییرمکان ( $T_M$ ) در نظر گرفته می‌شود (روابط ۱۹ و ۲۰)، که در این روابط  $K_D \min$  و  $K_M \min$  و  $D_D$  مبنای نتایج آزمایش‌ها تعیین می‌شوند:

$$T_D = 2\pi \sqrt{\frac{W}{K_D \min g}} \quad (۱۹)$$

$$T_M = 2\pi \sqrt{\frac{W}{K_M \min g}} \quad (۲۰)$$

در روش پیشنهادی اثر تغییرمکان اضافی ناشی از پیچش واقعی و تصادفی مطابق رابطه ۹ به صورت ضریب ثابت  $1/1$  در پاسخ تراز جداسازی در نظر گرفته شده است، در حالی که در دستورالعمل، این اثر به صورت روابط ۲۱ و ۲۲ در نظر گرفته شده و کمیته‌ی مقدار این ضرایب افزایشی  $1/1$  است. در روابط مذکور،  $b$  و  $d$  ابعاد پلان،  $e$  مجموع خروج از مرکزیت واقعی و تصادفی، و  $D_M$  به ترتیب تغییرمکان طرح و بیشترین تغییرمکان افقی سامانه‌ی جداساز است.

$$D_{TD} = D_D \left[ 1 + y \frac{12e}{b^2 + d^2} \right] \quad (۲۱)$$

$$D_{TM} = D_M \left[ 1 + y \frac{12e}{b^2 + d^2} \right] \quad (۲۲)$$

در دستورالعمل، برای محاسبه‌ی نیروی جانبی وارد بر سامانه‌ی جداساز و اعضای سازه‌ی زیر آن، رابطه ۲۳ و برای محاسبه‌ی نیروی جانبی وارد بر اعضای سازه‌ی بالاتر از تراز جداسازی، رابطه ۲۴ ارائه شده است؛ در روش پیشنهادی، فقط رابطه ۱۸ استفاده شده است. دلیل تفاوت مذکور این است که در دستورالعمل شکل پذیری سازه‌ی فوقانی در نظر گرفته می‌شود و نیروی جانبی وارد بر اعضای سازه‌ی بالاتر از تراز جداسازی با لحاظ کردن ضریب رفتار  $R_I$ ، که یک ضریب کاهنده‌ی نیرو براساس شکل پذیری سازه‌ی فوقانی است، محاسبه می‌شود؛ در حالی که در روش پیشنهادی، این ضریب کاهنده براساس شکل پذیری در نظر گرفته نمی‌شود. اما متعاقباً با درنظر گرفتن رفتار خطی سازه، روش پیشنهادی برای حیطه‌ی گسترده‌تری از ساختمان‌ها جگاز است. به صورتی که نیروی محاسبه شده در دستورالعمل برای ساختمان‌های تا ارتفاع پیشنهادی  $20$  متر مجاز است،<sup>[۷]</sup> در حالی که در روش

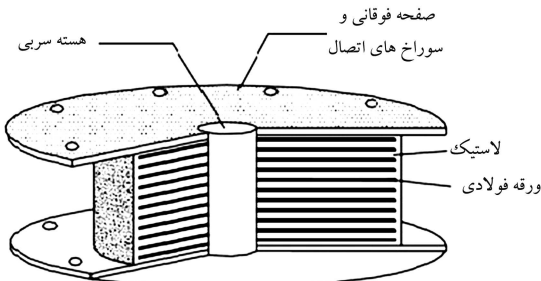
## ۴. مدل سازی

در این بخش روند ارائه شده در روش پیشنهادی برای طرح ساختمان‌های با سیستم جداسازی لرزه‌بی در ایران مورد ارزیابی قرار گرفته است. بدین منظور  $5$  مدل ساختمانی،  $2$ ،  $8$ ،  $10$  و  $15$  طبقه با روند عنوان شده در روش پیشنهادی بررسی و نتایج به دست آمده از این روش با نتایج حاصل از تحلیل‌های دینامیکی تاریخچه‌ی زمانی غیرخطی مقایسه شده‌اند. در این تحلیل‌ها، کلیه ساختمان‌ها بر روی خاک نوع II و خطر نسبی خیلی زیاد مطابق تعاریف آین نامه‌ی  $2800$  در نظر گرفته شده‌اند.

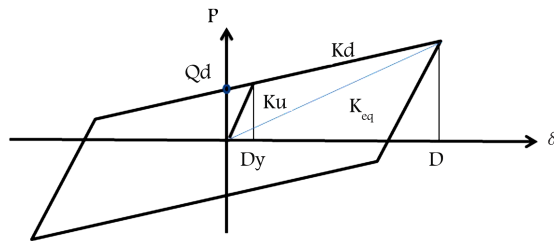
به منظور بررسی رفتاری که سازه‌های جداسازی شده در عمل از خود نشان می‌دهند، از مدل‌های سه بعدی استفاده شده است. مطابق توصیه‌هایی که در مراجع و آین نامه‌های مختلف شده است، در طبقه‌ی همکف از دالی با جرم تقریباً برابر با جرم طبقات دیگر استفاده شده است، تا عملکرد سیستم جداسازی به صورت یکنواخت در آید.<sup>[۱۷]</sup> در این مطالعه، برای اینکه تحلیل‌های تاریخچه‌ی زمانی جامع‌تر باشند و با دقت بیشتری بتوان نتایج حاصل از روش پیشنهادی را با نتایج حاصل از تحلیل‌های تاریخچه‌ی زمانی ارزیابی کرد، از  $7$  رکورد حوزه‌ی دور و  $7$  رکورد حوزه‌ی نزدیک ایران استفاده شده است.

### ۴.۱ مشخصات مدل‌های سازه‌بی جداسازی شده

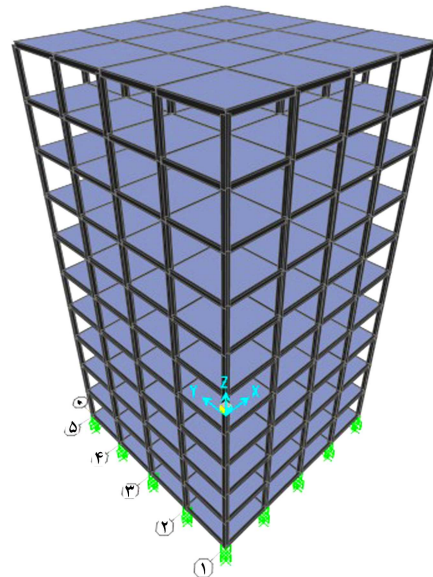
ساختمان‌های انتخاب شده در این بررسی  $2$ ،  $4$ ،  $8$ ،  $10$  طبقه هستند. پلان کلیه‌ی ساختمان‌ها، متفاوت با دهانه‌هایی به طول  $4$  متر هستند، که پلان ساختمان  $2$  طبقه دارای  $2$  دهانه، ساختمان‌های  $4$  و  $6$  طبقه دارای  $3$  دهانه و ساختمان‌های  $8$  و  $10$  طبقه دارای  $4$  دهانه هستند. لذا تعداد ستون‌ها در هر طبقه و به تبع آن تعداد جداگرها در ساختن  $2$  طبقه برابر با  $9$ ، در ساختمان‌های  $4$  و  $6$  طبقه برابر با  $16$  و در ساختمان‌های  $8$  و  $10$  طبقه برابر با  $25$  هستند. ارتفاع طبقات در کلیه‌ی ساختمان‌ها  $3$  متر است و سازه‌ی فوقانی دارای سیستم باربر جانبی قاب خمی فولادی است. در شکل  $9$ ، مدل سازه‌بی  $10$  طبقه به عنوان نمونه نشان داده شده است. بار مرده و زنده در نظر گرفته شده برای کلیه‌ی مدل‌ها به ترتیب  $800$  و  $200$  کیلوگرم نیرو بر مترمربع است، که به کف وارد می‌شود. مقاطع مورد استفاده برای تیر و ستون به ترتیب IPE و IPB و فولاد مورد استفاده در این پژوهش از نوع ST $37$  است. ساختمان‌ها به صورت پایه‌ی گیردار و برای پیشنهادی نیروی برشی  $Q$  به دست آمده از روش پیشنهادی به روش تنش مجاز و با استفاده از آین نامه‌ی AISC-ASD طراحی شده‌اند. با توجه به اینکه مدل‌های ساختمانی دارای پلان



شکل ۱۰. جزییات جداگرها لاستیکی با هسته سربی.



شکل ۱۱. منحنی نیرو - جابه جایی جداگرها لاستیکی با هسته سربی.

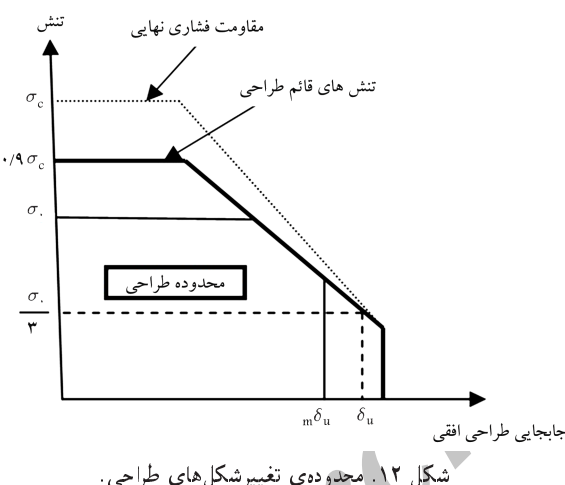


شکل ۹. مدل ۱۰ طبقه مورد بررسی.

متقارن هستند، ممکن پیچشی ایجاد شده مقادیر قابل توجهی نداشته است. مدل سازی در نرم افزار sap. ۲۰۰۰ نسخه ۱۴/۱۰ انجام شده و برای درنظر گرفتن رفتار غیرخطی اعضای تیر و ستون از مفاصل خمیری در دو انتهای تیر و ستون با استفاده از تعریف FEMA-۳۵۶ و برای مدل سازی جداسازها از المان غیرخطی NLLINK<sup>۲</sup> استفاده شده است.

#### ۴. مشخصات سیستم جداسازی

جداگرها لرزه بی به طور کمی به دو دسته‌ی جداگرها لاستیکی (نظیر جداگرها لاستیکی با میرایی بالا (HDRB)<sup>۳</sup> و جداگرها لاستیکی با هسته سربی (LRB)<sup>۴</sup>) و جداگرها لغزشی (نظیر جداگرها پاندولی اصطکاکی (FPS)<sup>۵</sup>) تقسیم می شوند. جداگرها با سیستم بار بار لاستیکی افقی و سختی قائم لازم، این فازی تشکیل می شوند، که برای تأمین شکل پذیری افقی و سختی قائم طراحی و مقاومت فشاری نهایی تنش  $\sigma_c$  را در تنش های قائم طراحی محدوده طراحی<sup>۶</sup> می دهد. در شکل ۱۰ نشان داده شده است. در داخل این جداگرها، یک استوانه سربی به منظور استهلاک بیشتر انرژی تعیین شده است. در این نوشان از آنها استفاده شده است، علاوه بر اینکه وزن ساختمان را تحمل می کند، هم شکل پذیری افقی از طریق ایجاد نیروهای بازگرداننده به وضعیت اولیه و هم میرایی هیسترزیس لازم را ایجاد می کند. منحنی رفتار جداساز LRB در شکل ۱۱ نشان داده است.



شکل ۱۲. محدوده تغییر شکل های طراحی.

جداسازها از روابط ۲۵ و ۲۶ تعیین می شود:

$$\sigma = \sigma_c \left(1 - \frac{\gamma}{\alpha_c \cdot S_r}\right) \quad (25)$$

$$\sigma = \sigma_c \left(1 - \frac{\gamma}{\zeta}\right) + \frac{3}{4} \gamma \quad (26)$$

که در آنها،  $\sigma_c$  مقاومت فشاری نهایی جداگر،  $\gamma$  کرنش برشی و  $S_r$  ضریب شکل ثانویه جداگر است. هر یک از مدل ها مطابق شکل ۱۱ با پارامترهای  $K_d$  و  $K_u$  و  $Q_d$  مشخص می شوند، که به ترتیب سختی اولیه، سختی ثانویه و محل تقاطع حلقه هیسترزیس با محور قائم است. پارامترهای  $D_y$  و نسبت سختی پس از تسلیم به سختی قبل از تسلیم نیز پارامترهای وابسته بی هستند، که تابعی از این سه پارامتر هستند. سختی ثانویه (سختی پس از تسلیم) از رابطه ۲۷ محاسبه می شود:

$$K_d = C_{K_d} (K_r + K_p) \quad (27)$$

در این پژوهش، جداگرها براساس برخی ضوابط و توصیه های ابلاغیه های شماره ۲۰۰۹ و ۱۴۴۶ آین نامه زبان طراحی شده اند. مشخصات مکانیکی جداگرها LRB نیز مطابق توصیه های ابلاغیه های شماره ۲۰۰۹ و ۱۴۴۶ آین نامه زبان در نظر گرفته شده است. مطابق ضوابط آین نامه زبان، در این جداساز ابتدا میران مقاومت فشاری و برشی مجاز و دیگر خواص مکانیکی تجهیزات تعیین شده، سپس مطابق شکل ۱۲، میران جابه جایی های افقی تجهیزات جداگر لرزه بی تعیین شده است که میران این جابه جایی ها کمتر از جابه جایی ناشی از بارهای معادل  $\frac{1}{3}$  مقاومت قائم طراحی جداسازها شود. میران تنش فشاری در

جدول ۳. مشخصات سیستم های جداسازی برای هر یک از مدل ها.

$Q_d$ (KN)	$D$ (m)	$h_{eq}$ (%)	$K_{eq} @ D$ (KN/m)	$K_d$ (KN/m)	$K_u$ (KN/m)	جداساز
۱۴	۰,۲۸۰	۲۱	۱۴۰	۹۱	۱۲۵۰	مدل ۲ طبقه
۳۸	۰,۳۴۰	۲۶	۲۶۷	۱۵۸	۲۳۵۲	مدل ۴ طبقه
۵۴	۰,۳۷۵	۲۷	۳۲۰	۱۸۷	۳۳۰۰	مدل ۶ طبقه
۵۹	۰,۴۳۷	۲۳	۴۱۳	۲۸۸	۳۹۳۳	مدل ۸ طبقه
۷۶	۰,۵۰۰	۲۴	۴۸۰	۲۳۱	۵۰۰۰	مدل ۱۰ طبقه

این تذکر لازم است که به منظور بررسی صحت مدل سازی سیستم جداساز و کنترل نتایج تحلیل دینامیکی غیرخطی، از مدل بررسی شده‌ی نعم و کلی در کتاب طراحی لرزه‌ی سازه‌های جداسازی شده،<sup>[۱۷]</sup> استفاده شده است. این مدل به عنوان مدل مبنا در نظر گرفته شده و با طراحی مجدد آن، روند مدل سازی و نتایج تحلیل مورد بررسی قرار گرفته است.

### ۳.۴. رکوردهای مورد استفاده

رکوردهای مورد استفاده در این پژوهش همگی مربوط به زلزله‌های رخداده در ایران هستند. با توجه به اینکه این رکوردها از مجموعه‌ی رکوردهای ثبت شده در شبکه‌ی شتاب‌نگاری مرکز تحقیقات ساختمان و مسکن انتخاب شده‌اند، برای استفاده در تحلیل‌های دینامیکی تاریخچه‌ی زمانی، ابتدا این رکوردها اصلاح و حذف نویز شده‌اند، که فیلترهای بالاگذر و پایین‌گذر براساس مقادیر پیشنهادی قدرتی و همکاران،<sup>[۱۸]</sup> انتخاب شده‌اند.

در این پژوهش اعمال رکوردهای زلزله به سازه به همان شکلی که استخراج شده‌اند، هیچ نتیجه‌ی بدست نمی‌دهد؛ لذا برای امکان مقایسه‌ی نتایج حاصل از روش پیشنهادی با نتایج تحلیل‌های دینامیکی رکوردهای زلزله مقیاس شده‌اند. با مقیاس کردن رکوردها علاوه بر جلوگیری از ایجاد پراکنده‌ی زیاد در نتایج تحلیل‌های دینامیکی، امکان مقایسه‌ی نتایج رکوردهای حوزه‌ی دور و نزدیک با یکدیگر نیز فراهم شده است.<sup>[۱۹]</sup> در سازه‌های جداسازی شده معمولاً مقیاس کردن شتاب‌نگاشت‌ها براساس PGV صورت می‌گیرد، چرا که دوره‌ی تناوب اصلی سازه در قسمت سرعت ثابت طیف قرار دارد، اما با توجه به اینکه در آینه‌نامه ۲۸۵۰ مقیاس کردن رکوردها بر مبنای PGA است، رکوردها بر این مبنای به مقیاس در آمده‌اند. در این مطالعه از ۷ رکورد حوزه‌ی دور و ۷ رکورد حوزه‌ی نزدیک در تحلیل‌های تاریخچه‌ی زمانی استفاده شده است، تا حالت‌های بیشتری در مقایسه‌ی نتایج روش پیشنهادی با تحلیل‌های تاریخچه‌ی زمانی مدنظر قرار گردد. این تذکر لازم است که این دو مجموعه رکورد ۷ تایی حوزه‌ی دور و حوزه‌ی نزدیک که مشخصات آنها به ترتیب در جداول ۴ و ۵ بیان شده است، از بین ۱۶ رکورد حوزه‌ی دور و ۱۵ رکورد حوزه‌ی نزدیک ایران انتخاب و مقیاس شده‌اند، تا بهترین انطباق را با طیف طرح آینه‌نامه داشته باشند.

### ۵. نتایج و بحث

پس از انجام تحلیل‌ها و تعیین نتایج حاصل از روش تحلیل خطی معادل پیشنهادی و نتایج تحلیل‌های تاریخچه‌ی زمانی مدل‌های در نظر گرفته شده مشاهده شد که مقادیر پاسخ در زلزله‌های حوزه‌ی نزدیک به مراتب بزرگ‌تر از پاسخ‌های حوزه‌ی دور بوده است، که این امر به دلیل ماهیت ضربه‌ی رکوردهای حوزه‌ی نزدیک و اثرات خاص

که در آن،  $C_{kd}$  ضریب اصلاحی،  $K_d$  وابسته به کرنش برشی،  $K_r$  سختی جانی لاستیک و  $K_p$  سختی جانی اضافی ناشی از هسته‌ی سربی است، که مقادیر آنها از روابط ۲۸ الی ۳۰ محاسبه می‌شود:

$$K_r = G_r \cdot \frac{A_r}{H} \quad (28)$$

$$K_p = \alpha \cdot \frac{A_p}{H} \quad (29)$$

$$C_{Kd} = \begin{cases} ۰,۷۹۹۷^{-۰,۴۳} & [\gamma < ۰,۲۵] \\ \gamma^{-۰,۲۵} & [۰,۲۵ < \gamma < ۱,۰] \\ \gamma^{-۰,۱۲} & [۱ < \gamma < ۲,۵] \end{cases} \quad (30)$$

که در آن‌ها،  $G_r$  سختی برشی لاستیک،  $A_r$  سطح مقطع لاستیک،  $H$  ارتفاع جداساز،  $A_p$  سطح مقطع هسته‌ی سربی، و  $\alpha$  مدول برشی سرب است. مقدار نیروی تسلیم هسته‌ی سربی از رابطه‌ی ۳۱ محاسبه می‌شود:

$$Q_d = C_{Qd} \cdot \sigma_{pb} \cdot A_p \quad (31)$$

که در آن،  $C_{Qd}$  ضریب اصلاحی،  $Q_d$  وابسته به کرنش برشی سرب است که از رابطه‌ی ۳۲ محاسبه می‌شود،  $\sigma_{pb}$  تنش برشی سرب و  $A_p$  سطح مقطع هسته‌ی سربی است.

$$C_{Qd} = \begin{cases} ۲,۳۶\gamma^{۰,۳} & [\gamma < ۰,۱] \\ ۱,۱۰\gamma^{۰,۱۴۵} & [۰,۱ < \gamma < ۰,۵] \\ ۱ & [\gamma > ۰,۵] \end{cases} \quad (32)$$

سختی مؤثر ( $K_{eq}$ ) به صورت شبی خط واصل دونقطه‌ی یک حقیقی هیسترزیس تعریف می‌شود و مقدار آن را می‌توان از رابطه‌ی ۳۳ بدست آورد:

$$K_{eq} = \frac{Q_d}{\gamma \cdot H} + K_d \quad (33)$$

که در آن،  $K_{eq}$  سختی معادل در جایه‌جایی  $H = \gamma \cdot H$  است. سطح زیر منحنی LRB هیسترزیس که بیان‌گر میزان انرژی مستهلك شده در هر سیکل حرکتی جداگر است، با استفاده از رابطه‌ی ۳۴ محاسبه می‌شود:

$$W_D = ۴Q_d(D - D_y) \quad (34)$$

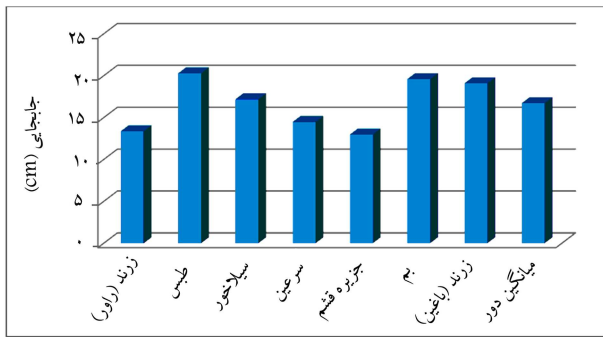
چنانچه نسبت سختی اولیه‌ی جداساز به سختی پس از تسلیم را با  $\beta$  نشان دهیم، میرایی معادل در جایه‌جایی طراحی به صورت رابطه‌ی ۳۵ و اثر دما در پارامترهای طراحی  $K_d$  و  $Q_d$  به صورت روابط ۳۶ و ۳۷ بیان می‌شود:

$$h_{eq} = \frac{\gamma}{\pi} \cdot \frac{Q_d \left\{ D - \frac{Q_d}{(1-\beta) \cdot K_d} \right\}}{K_{eq} \cdot D^{\gamma}} \quad (35)$$

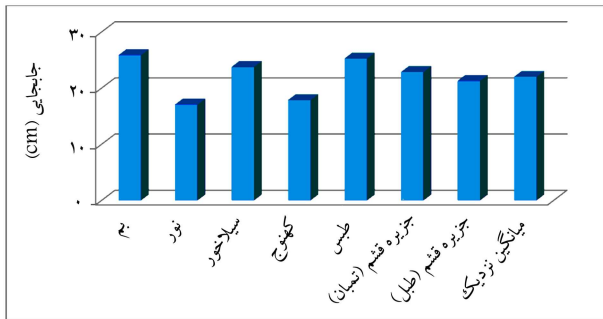
$$K_d(t) = K_d(t_0) \cdot \exp(-0,0027 \times (t - t_0)) \quad (36)$$

$$Q_d(t) = Q_d(t_0) \cdot \exp(-0,00879 \times (t - t_0)) \quad (37)$$

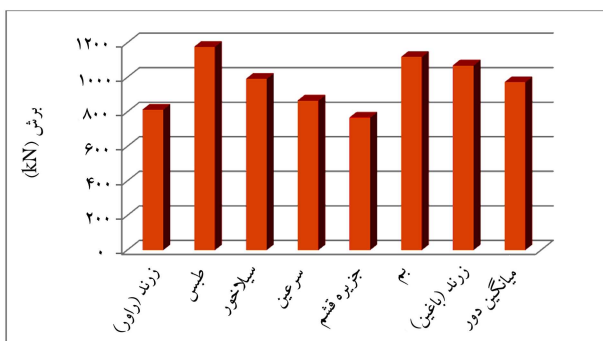
در جداگر RRB، میرایی هیسترزیس با تسلیم هسته‌ی سربی ایجاد می‌شود. مشخصات جداگرها که براساس یک روند سیکل‌وار طراحی شده‌اند، در جدول ۳ نشان داده شده است.



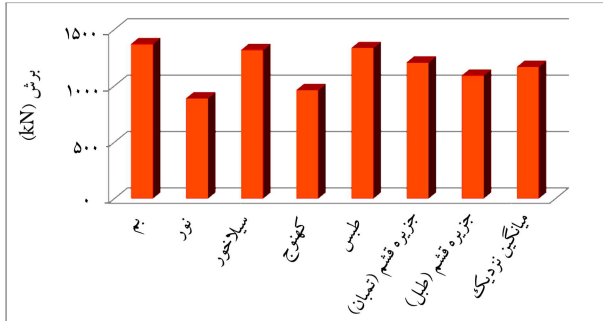
شکل ۱۴. جابه‌جایی بیشینه‌ی تراز پایه‌ی ساختمان ۶ طبقه تحت رکوردهای حوزه‌ی دور.



شکل ۱۵. جابه‌جایی بیشینه‌ی تراز پایه‌ی ساختمان ۶ طبقه تحت رکوردهای حوزه‌ی نزدیک.



شکل ۱۶. برش پایه‌ی بیشینه‌ی در ساختمان ۶ طبقه تحت رکوردهای حوزه‌ی دور.



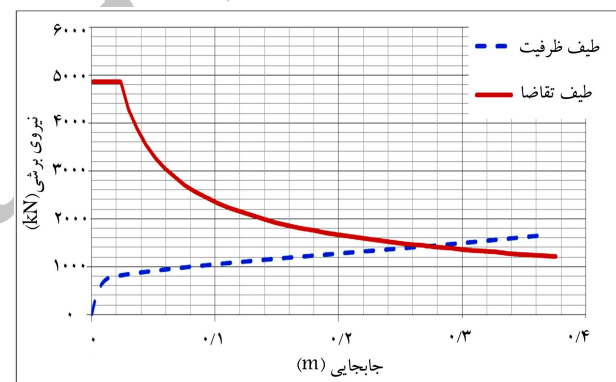
شکل ۱۷. برش پایه‌ی بیشینه‌ی تراز پایه‌ی ساختمان ۶ طبقه تحت رکوردهای حوزه‌ی نزدیک.

جدول ۴. رکوردهای حوزه‌ی دور انتخابی.

زلزله	ایستگاه	شماره‌ی رکورد	PGA (g)	تاریخ
زرند	راور	۳۶۶۱	۰,۱۲۱	۲۰۰۵/۰۲/۲۲
طبس	سده	PEER-۷۳ Sedenh	۰,۰۳۸	۱۹۷۸/۰۹/۱۹
سیلاخور	چغاوندی	۴۰۱۸,۰۳	۰,۱۷۲	۲۰۰۶/۰۳/۳۱
سرعین	اردبیل ۱	۱۶۹۳	۰,۱۱۵	۲۰۰۲/۰۶/۲۸
جزیره‌ی قشم	سوزا	۴۶۷۸,۰۱	۰,۱۶۸	۲۰۰۸/۱۰/۰۹
بم	محمودآباد مسکون	۳۱۶۲	۰,۱۱۹	۲۰۰۸/۰۹/۱۰
زرند	باگین	۳۶۶۳	۰,۰۲	۲۰۰۵/۰۲/۲۲

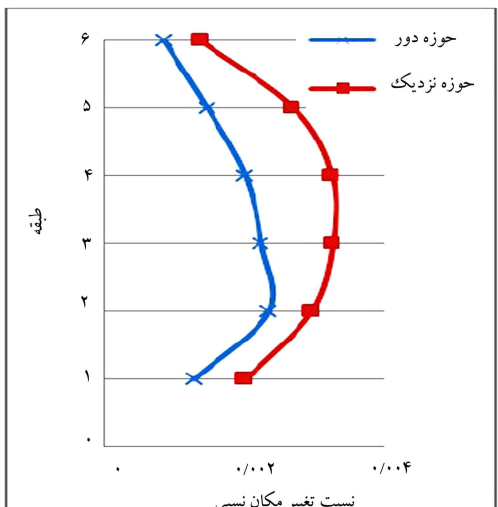
جدول ۵. رکوردهای حوزه‌ی نزدیک انتخابی.

زلزله	ایستگاه	شماره‌ی رکورد	PGA (g)	تاریخ
بم	بم	۳۱۶۸,۰۲	۰,۷۹۹	۲۰۰۳/۱۲/۲۶
نور	حسن کیف	۳۳۳۳	۰,۹۲۲	۲۰۰۴/۰۵/۲۸
سیلاخور	چالان چولان	۴۰۲۷,۰۸	۰,۴۲۳	۲۰۰۶/۰۳/۳۱
کهنه‌چ	صوغان	۲۹۹۸	۰,۰۸	۲۰۰۶/۰۲/۲۸
طبس	PEER-۹۱۰ Tabas	۰,۸۵۶	۰,۱۶	۱۹۷۸/۰۹/۱۶
جزیره‌ی قشم	تبان	۴۶۸۶,۰۳	۰,۰۵۹۷	۲۰۰۸/۰۹/۱۰
جزیره‌ی قشم	طبیل	۴۶۷۵,۰۱	۰,۰۸۹	۰,۰۸۹

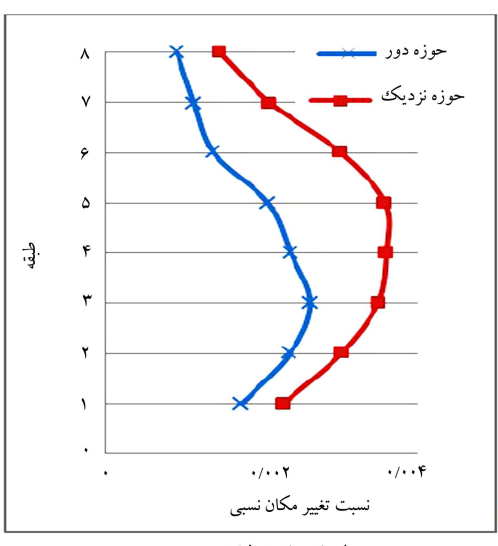


شکل ۱۳. طیف ظرفیت و طیف نیاز در مدل ۶ طبقه.

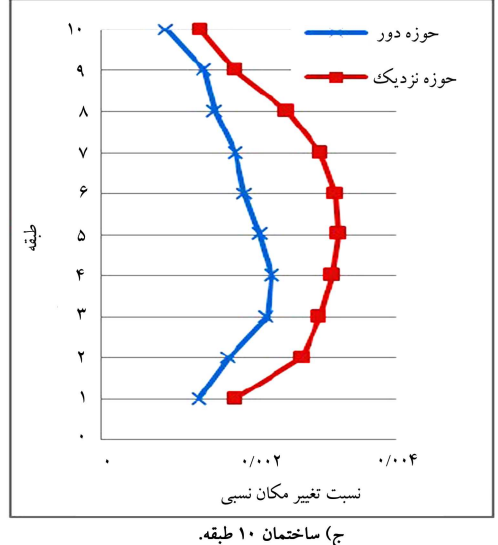
در سازه‌های شکل‌پذیر است. همچنین مشاهده شده است که پاسخ جابه‌جایی تراز پایه و برش پایه‌ی کلیه رکوردها کمتر از مقادیر پاسخ روش پیشنهادشده است، که این مطلب بیان‌گر ضریب اطمینان روش پیشنهادی در تعیین مقادیر پاسخ سازه است. در شکل ۱۳، طیف ظرفیت و طیف نیاز در مدل ۶ طبقه پس از هم‌گارشدن پاسخ‌ها در روش پیشنهادی به عنوان نمونه شناسان داده شده است. در شکل‌های ۱۴ و ۱۵، جابه‌جایی بیشینه‌ی تراز پایه‌ی ساختمان ۶ طبقه تحت رکوردهای حوزه‌ی دور و نزدیک و در شکل‌های ۱۶ و ۱۷ برش پایه‌ی بیشینه‌ی در ساختمان ۶ طبقه تحت رکوردهای حوزه‌ی دور و نزدیک نشان داده است. مطابق شکل ۱۳، جابه‌جایی استاندارد تراز جداساز به دست آمده از روش پیشنهادی برابر با ۲۷/۵ سانتی‌متر است، که با مقایسه با جابه‌جایی بیشینه‌ی تراز پایه‌ی ساختمان ۶ طبقه تحت رکوردهای حوزه‌ی دور در شکل ۱۴ (۱۹ سانتی‌متر) و جابه‌جایی بیشینه‌ی تراز پایه‌ی ساختمان ۶ طبقه تحت رکوردهای حوزه‌ی نزدیک در شکل ۱۵ (۲۵ سانتی‌متر) بهوضوح مشاهده می‌شود که مقادیر حاصل از تحلیل‌های تاریخچه‌ی زمانی از مقادیر به دست آمده



الف) ساختمان ۶ طبقه؛



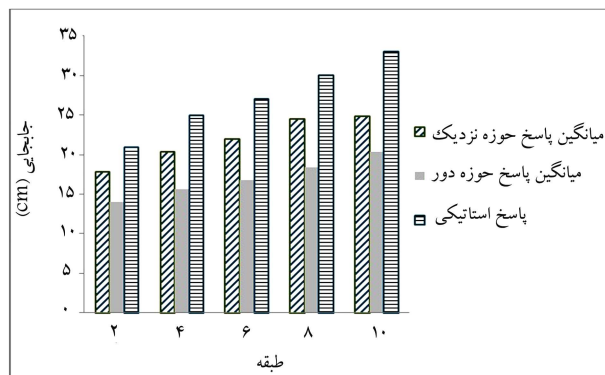
ب) ساختمان ۸ طبقه؛



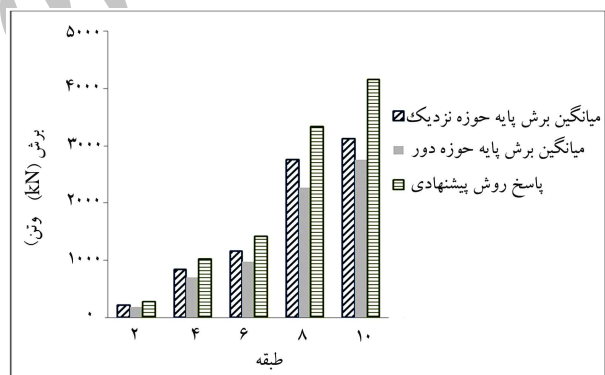
ج) ساختمان ۱۰ طبقه.

شکل ۲۱. میانگین تغییر مکان جانبی نسبی برای رکوردهای حوزه‌ی دور و نزدیک و روش پیشنهادی.

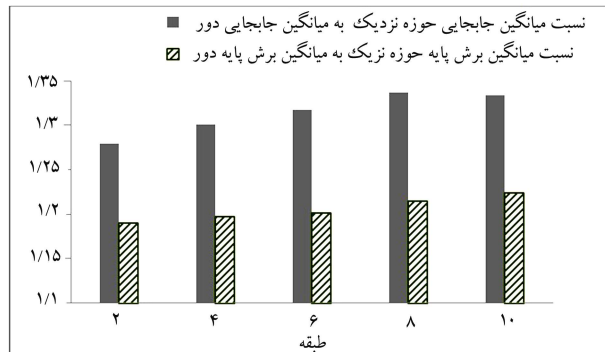
از روش پیشنهادی کمتر است و با توجه به میزان اختلاف موجود، این روش دقیق متوسطی دارد. همچنین مطابق شکل ۱۳، نیروی لرزه‌ی در لایه‌ی جداساز ۱۴۰۸ کیلونیوتون است، که مقایسه‌ی این مقدار با برش پایه‌ی بیشینه در ساختمان ۶ طبقه تحت رکوردهای حوزه‌ی دور در شکل ۱۶ (۱۷۹۱ کیلونیوتون) و برش پایه‌ی بیشینه‌ی تراز پایه‌ی ساختمان ۶ طبقه تحت رکوردهای حوزه‌ی نزدیک در شکل ۱۷ (۱۳۷۲ کیلونیوتون) مؤید نتیجه‌ی فوق است. در شکل‌های ۱۸ و ۱۹ میانگین مقادیر پاسخ جابه‌جایی تراز پایه و برش پایه تحت رکوردهای حوزه‌ی دور و نزدیک با یکدیگر و با مقادیر پاسخ حاصل از روش پیشنهادی مقایسه شده‌اند. در شکل ۲۰، نسبت میانگین جابه‌جایی و برش پایه در زلزله‌ی حوزه‌ی نزدیک



شکل ۱۸. مقایسه‌ی جابه‌جایی پایه ناشی از رکوردهای حوزه‌ی دور و نزدیک با جابه‌جایی در روش پیشنهادی.



شکل ۱۹. مقایسه‌ی برش پایه ناشی از رکوردهای حوزه‌ی دور و نزدیک با برش پایه در روش پیشنهادی.



شکل ۲۰. مقایسه‌ی نسبت میانگین پاسخ‌ها در دو حالت دور و نزدیک.

که در این ساختمان‌ها نیز مقادیر بیشینه‌ی تغییرمکان نسبی در رکوردهای حوزه‌ی نزدیک به نسبت حوزه‌ی دور در طبقات بالاتر ایجاد شده است. این موضوع می‌تواند بیان‌گر این مطلب باشد که در تحریکات حوزه‌ی نزدیک به نسبت تحریکات حوزه‌ی دور مدهای ارتعاشی بالاتر بیشتر فعال می‌شوند. پس از انجام تحلیل تاریخچه‌ی زمانی فقط در مدل ۱۰ طبقه تحت رکورد حوزه‌ی نزدیک به چند مفصل خمیری در تراز جداسازی می‌شوند. البته این نسبت در سازه‌های با میزان نزدیک ایجاد نشده است. مطابق شکل ۲۲، این مفاصل در تیرهای طبقات اول و دوم ایجاد شده‌اند و با توجه به اینکه دوران ایجادشده در این مفاصل در محدوده‌ی IO قرار گرفته است، عملکرد مناسبی از این سیستم مشاهده شده است.

## ۶. نتیجه‌گیری

در این نوشتار یک روش برای طراحی ساختمان‌های با سیستم جداسازی لرزه‌ی در ایران بر مبنای آینه‌نامه‌ی ژاپن و با درنظرگرفتن شرایط ساختگاهی و لرزه‌خیزی و همپیش ضوابط آینه‌نامه‌ی طراحی لرزه‌ی ایران ارائه شده است. سپس به منظور ارزیابی روش پیشنهادی چند مدل سازه‌ی در نظر گرفته شده و نتایج حاصل از روش پیشنهادی با نتایج تحلیل‌های تاریخچه‌ی زمانی غیرخطی مقایسه شده است.

۱. با مقایسه‌ی نتایج تحلیل‌های تاریخچه‌ی زمانی با مقادیر پاسخ روش پیشنهادی مشاهده شده است که در همه‌ی حالات، مقادیر پاسخ‌های دینامیکی کمتر از پاسخ‌های روش پیشنهادی است و با توجه به نزدیک بودن مقادیر پاسخ رکوردهای حوزه‌ی نزدیک به پاسخ‌های روش پیشنهادی می‌توان گفت که این روش دقیق و ضریب اطمینان مناسبی دارد.

۲. علی‌رغم مقیاس‌کردن رکوردهای دور و نزدیک، مقادیر پاسخ‌های حوزه‌ی نزدیک اختلاف قابل توجهی نسبت به رکوردهای حوزه‌ی دور داشته‌اند، که میزان این اختلاف با افزایش ارتفاع سازه بیشتر می‌شده است.

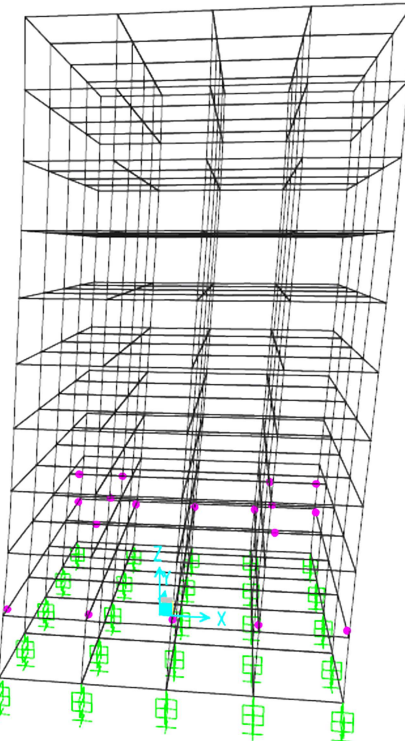
۳. با مقایسه‌ی نسبت میانگین پاسخ‌های جابه‌جایی تراز پایه و برش پایه در زلزله‌های حوزه‌ی نزدیک به مقادیر متناظر در زلزله‌های حوزه‌ی دور مشاهده شده است که جابه‌جایی‌های حوزه‌ی نزدیک، مقادیر بین ۳۴٪ تا ۲۷٪ بزرگ‌تر از جابه‌جایی‌های ناشی از زلزله‌های حوزه‌ی دور داشته‌اند. البته این نسبت در مورد برش پایه کمتر و در حدود ۲۲٪ تا ۲۶٪ بوده است، که بیان‌گر این نکته است که در سازه‌های با جداسازی لرزه‌ی، زلزله‌های حوزه‌ی نزدیک در مقایسه با زلزله‌های حوزه‌ی دور اثر افزاینده‌ی بیشتری در پاسخ جابه‌جایی تراز پایه نسبت به اینکه در ارتفاع افزایش سازه بیشتر می‌شود. با توجه به اینکه در سازه‌های با سیستم جداسازی لرزه‌ی جابه‌جایی تراز پایه اهمیت زیادی دارد؛ لذا درنظرگرفتن رکوردهای حوزه‌ی نزدیک در زمانی که از تحلیل‌های تاریخچه‌ی زمانی استفاده می‌کنیم، اهمیت ویژه‌ی دارد.

۴. بررسی مدل‌ها تحت زلزله‌های دور و نزدیک بر مبنای رکوردهایی که بیشترین پاسخ را در سازه ایجاد می‌کنند، نشان داده است که علی‌رغم اینکه طیف آینه‌نامه‌ی ۲۸۰۰ در زمان تناوب‌های بالا مقدار طیف را در جهت اطمینان ارائه کرده است، اما درنظرگرفتن ضریبی برای لحاظکردن اثرات حوزه‌ی نزدیک به خصوص در طراحی سازه‌های با سیستم جداسازی لرزه‌ی به طراحی این و اقتصادی کمک می‌کند.

به مقادیر متناظر در زلزله‌های حوزه‌ی دور نشان داده شده است. مطابق شکل مذکور جابه‌جایی‌های حوزه‌ی نزدیک مقادیر بین ۲۷٪ تا ۳۴٪ بزرگ‌تر از جابه‌جایی‌های ناشی از زلزله‌های حوزه‌ی دور دارند، که این اختلاف به دلیل پالس‌های سرعت و جابه‌جایی در رکوردهای حوزه‌ی نزدیک است، که باعث ایجاد جابه‌جایی‌های بزرگی در تراز جداسازی می‌شوند. البته این نسبت در سازه‌های با سیستم جداسازی لرزه‌ی ۱۸٪ تا ۲۲٪ است، که بیان‌گر این نکته است که در سازه‌های با افزاینده‌ی دور اثر افزاینده‌ی بیشتری زلزله‌های حوزه‌ی نزدیک در مقایسه با زلزله‌های حوزه‌ی دور درنظرگرفتن رکوردهای حوزه‌ی نزدیک در پاسخ جابه‌جایی دارند. همچنین مشاهده می‌شود که با افزایش ارتفاع، درصد اختلاف بیشتر می‌شود. با توجه به اینکه در سازه‌های با سیستم جداسازی لرزه‌ی جابه‌جایی تراز پایه اهمیت زیادی دارد؛ لذا درنظرگرفتن رکوردهای حوزه‌ی نزدیک زمانی که از تحلیل‌های تاریخچه‌ی زمانی استفاده می‌کنیم، اهمیت ویژه‌ی دارد.

مقادیر تغییرمکان نسبی بدست آمده از روش پیشنهادی در ساختمان‌های ۴، ۲، ۶، ۸ و ۱۰ طبقه کوچک‌تر از  $\frac{1}{200}$  و همچنین برای کلیه‌ی رکوردها مقادیر تغییرمکان نسبی طبقات در هر مدل از مقادیر متناظر حاصل از روش پیشنهادی کوچک‌تر بوده است، که این مقایسه برای ساختمان‌های ۶، ۸، ۱۰ طبقه در شکل ۲۱ نشان داده شده است.

در شکل ۲۱الف مقادیر میانگین تغییرمکان نسبی برای رکوردهای حوزه‌ی دور و میانگین تغییرمکان نسبی برای رکوردهای حوزه‌ی نزدیک و تغییرمکان نسبی به دست آمده از روش پیشنهادی در ساختمان ۶ طبقه نشان داده است. با دقت در این شکل مشخص می‌شود که مقادیر بیشینه‌ی تغییرمکان نسبی در رکوردهای حوزه‌ی نزدیک به نسبت حوزه‌ی دور در طبقات بالاتر ایجاد می‌شود. در شکل‌های ۲۱ ب و ۲۱ج این مقادیر به ترتیب برای ساختمان‌های ۸ و ۱۰ طبقه نشان داده شده است،



شکل ۲۲. مفاصل خمیری ایجادشده در مدل ۱۰ طبقه تحت رکورد حوزه‌ی نزدیک

بم.

در زمین‌های مشابه و مناطق با لرزه‌خیزی مشابه می‌توان به این نتیجه رسید که با نرم‌ترشدن خاک محل، درصد اختلاف مقادیر شتاب طیفی در دو آئین نامه، به مرتب کمتر می‌شود و برای مثال در مناطق با خطر نسبی کم از ۴۱٪ برای خاک نوع I به ۲۱٪ برای خاک نوع IV می‌رسد.

۵. با مقایسه روابط توزیع برش در ارتفاع ساختمان در آئین نامه ایران و ژاپن مشاهده شده است که آئین نامه ژاپن در توزیع برش، در طبقات فوقانی مقادیر بیشتری را نسبت به مقادیر برش متناظر در آئین نامه ایران به دست می‌دهد، که این امر بیان‌گر در نظر گرفتن اثر مدهای بالاتر در توزیع برش آئین نامه ژاپن است.

۶. با مقایسه طیف شتاب در آئین نامه ژاپن و آئین نامه ۲۸۰۰ مشاهده شده است که مقادیر شتاب‌های طیفی در آئین نامه ژاپن، در تمام نواحی خاک‌ها بیشتر از استاندارد ۲۸۰۰ است، که در زمان تناوب‌های بالا این اختلاف کمتر می‌شود.

۷. با در نظر گرفتن درصد اختلاف طیف‌های شتاب در دو آئین نامه ایران و ژاپن

## تقدیر و تشکر

در بیان از جناب آقای پروفسور فوجیتانی از دانشگاه کوبه که در مراحل مختلف این پژوهش ما را باری کرده و با تهیه و ارسال آخرین ویرایش آئین نامه ژاپن، امکان انجام هر چه بهتر این پژوهش را فراهم ساخته‌اند، کمال شکر و قدردانی را داریم.

## پابنوشت‌ها

1.  $\max \delta_{design}$
2. nonlinear link (NLLINK)
3. high damping rubber bearing (HDRB)
4. lead rubber bearing (LRB)
5. friction pendulum system (FPS)

## منابع (References)

1. Otani, S., Hiraishi, H., Midorikawa, M. and Teshigawara, M. "New seismic design provisions in Japan", ACI SP-197, Behavior and Design of Concrete Structure for Seismic Performance, American Concrete Institute, pp. 87-104 (2000).
2. Kamoto, O.S., Kani, N., Higashino, M., Koshika, N., Kimizuka, M., Midorikawa, M. and Iiba, M. "Recent developments in seismically isolated buildings in Japan", *Earthquake Engineering and Engineering Vibration*, **1**(2), pp. 213-225 (2002).
3. *Performance Committee for Revising the Iranian Code of Practice for Seismic Resistant Design of Buildings*, Standard No.2008-05 (3rd Edition), Building and Housing Research Center, Tehran (1384).
4. *Guidelines for Design of Seismic Base Isolated Buildings*, Under the Supervision of Technical Committee, (1st Edition), Building and Housing Research Center, Tehran (1389).
5. *Guideline for Design and Practice of Base Isolation Systems in Buildings*, No. 523 of Vice Presidency for Strategic Planning and Supervision, Iran (1389).
6. *Establishment of Technical Criteria Necessary for Safety of Structural Methods for Buildings with Seismic Isolation System*, Notification No. 2009 of the Ministry of Construction, Japan (2009).
7. Otani, S. and Kani, N. "Japanese state of practice in design of seismically isolated buildings", 4th US-Japan Workshop on Performance-Based Earthquake Engineering Methodology for Reinforced Concrete Building Structures, Toba, Japan (2002).
8. Midorikawa, M., Okawa, I., Iiba, M. and Teshigawara, M. "Performance-based seismic design code for buildings in Japan", *Earthquake Engineering and Engineering Seismology*, **4**(1), pp. 15-25 (2003).
9. Establishment of Technical Criteria with Respect to Building Materials Used for the Foundation and Principal Building Parts of Buildings and with Respect to Japanese Industrial Standards or Japanese Agricultural Standards, and Quality that Should Apply to These Building Materials, Notification No. 1446 of the Ministry of Construction, Japan (2009).
10. Stipulation of the Value of Z, Methods of Calculating and  $R_t$  and  $A_i$  and Standards for the Designation by the Designated Administrative Organization of Districts Where the Ground Is Extremely Soft, Notification No. 1793 of the Ministry of Construction, Japan (2009).
11. Calculation of Response and Limit Capacity – Establishment of the Criteria of the Methods for Calculating the Damage Limit Displacement,  $T_d$ ,  $B_d$ , Story Drift, Safety Limit Displacement,  $T_s$ ,  $B_s$ ,  $F_h$  and  $G_s$ , and the Structural Calculation for Confirming the Structural Safety on the Roof Cladding, etc. and Exterior Wall, Etc, Notification No. 1457 of the Ministry of Construction, Japan (2009).
12. Pan, P., Zamfirescu, D., Nakashima, M. and Nakayasu, N. "Base-isolation design practice in Japan: Introduction to the post-Kobe approach", *Journal of Earthquake Engineering*, **9**(1), pp. 147-171 (2005).
13. Kuramoto, H., Teshigawara, M., Okuzono, T., Koshika, N., Takayama, M. and Hori, T. "Predicting the earthquake response of buildings using equivalent single degree of freedom system", *Proceedings of 12th World Conference on Earthquake Engineering*, Auckland, New Zealand (2000).
14. Marino, E.M., Nakashima, M. and Mosalam, K.M. "Comparison of European and Japanese seismic design of steel building structures", *Journal of Structural Engineering*, **27**(6), pp. 827-840 (2005).
15. Hoseini, S.H. "Propose a notification for seismic design of buildings with isolation system in Iran", Master of Science thesis, Department of Civil Engineering, University of Kurdistan, Kurdistan, Iran (1390).

16. Kawano, M., Dohi, H. and Matsuda, S. "Study on ground motion above source region during the 1995 Hyogo-ken Nanbu earthquake", *Proceedings of the 11th European Conference on Earthquake Engineering* (1998).
17. Naeim, F. and Kelly, J.M., *Design of Seismic Isolated Structures: From Theory to Practice*, John Wiley and Sons, Inc., New York (1999).
18. Kelly, J.M., *Earthquake-Resistant Design with Rubber*, 2nd Edition, Springer-Verlag, London (1996).
19. Ghodrati Amiri, G., Zahedi, M., Mahdavian, A. and Gholami, S. "Appropriate frequency band for correcting Iranian accelerograms in different site Conditions", *Journal of Faculty of Engineering*, University of Tehran, **38**(2), pp. 231-249 (2004).

Archive of SID